

العواصف الغبارية على مصر

وتتوالى أفريقيًا لتتروط حدودها وتطورها



إعداد

فتحى محمد العشماوى

مدير إدارة الدراسات
والتقارير المناخية

أولاً:- المقدمة

العواصف الغبارية أو الرملية تعد من أشد الظواهر الجوية القاسية على الحياة عموماً. فهي التي تهلك الحرث والنسل. وتسببها ريج عاصف عندما تهب على منطقة صحراوية جافة حبيبات تربتها ممتلئة مثل الصحراء الكبرى في أفريقيا فهذه المنطقة من أكثر مناطق العالم ملائمة لحدوث العواصف الغبارية أو الرملية. فالرياح أحياناً تهلك وتدمر عندما تكون ريج عاصف وأحياناً أخرى تأتي بالخير عندما تكون رياح هادئة تحمل السحب الممطرة إلى حيث يشاء الله وتحمل حبوب اللقاح في النبات ليتم الإخصاب وتنتج الثمار. ومنطقة جمهورية مصر العربية وشمال أفريقيا عموماً من أكثر مناطق العالم ملائمة لحدوث إثارة الغبار والرمل التي تنخفض معها الرؤية الأفقية لأقل من الضم متر مع الرياح الشديدة مسببة العاصفة كما توضح ذلك الخريطة شكل (1)

إشراف

أ.د / محمد محمود عيسى

رئيس الإدارة المركزية لبحوث الأرصاد الجوية والمناخ بالهيئة

● العاصفة الغبارية

Dust Storm

هي حركة سريعة لكتلة هواء تحمل كميات كبيرة من الجسيمات الجافة الغير شفافة تقل معها الرؤية الأفقية الى أقل من ١٠٠٠ متر

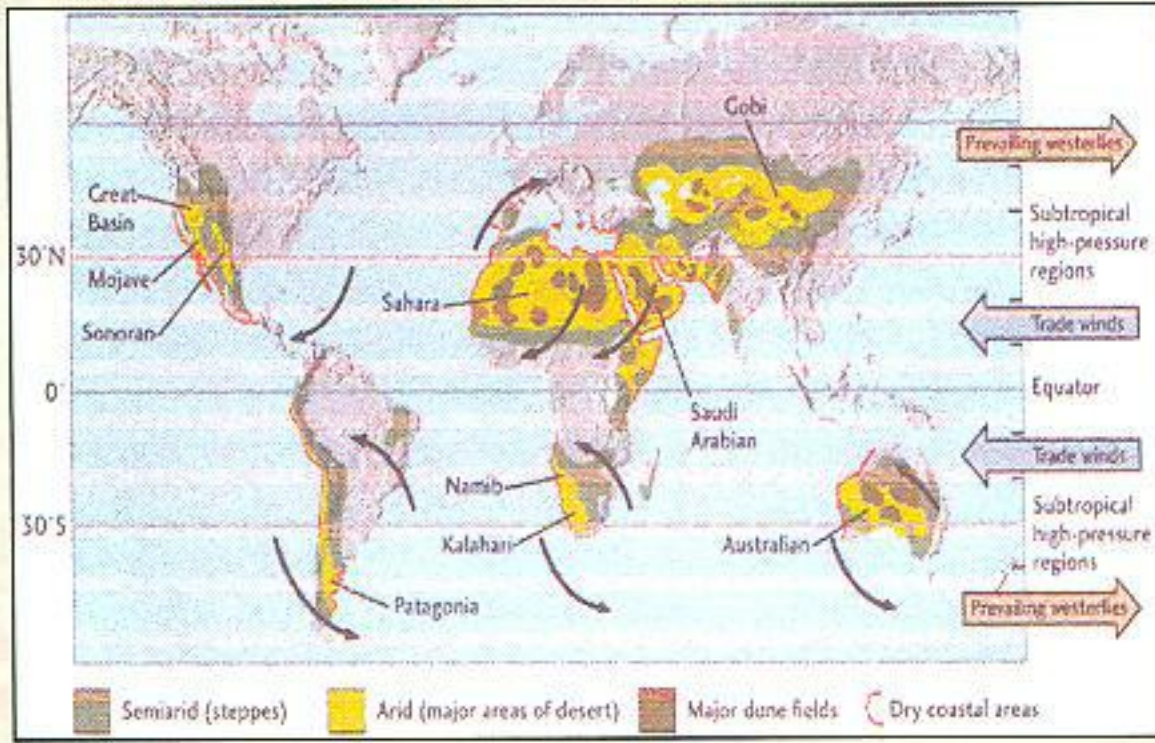
● التمييز بين العاصفة

الغبارية و الرملية

- الفرق الرئيسى بينهما هو فى

والهدف من هذا العمل ان نقوم بعرض موجز لشروط حدوث العواصف الغبارية او الرملية وعوامل تطورها على مصر وشمال أفريقيا. ونعرض انواع التوزيعات الضغطية المختلفة التى تسبب العواصف الغبارية أو الرملية. مع ذكر نموذج لكل نوع منها. وبعد فحص البيانات المناخية لعدد من المحطات السطحية المناخية العاملة فى الجمهورية ندرس معدل تكرار حدوث العواصف على مصر فى فصول السنة مع عرض رسومات بيانية توضيحية كما نعرض بعض التعريفات الهامة التى تتضمن دراسة الظواهر الغبارية أو الرملية.

حجم الجسيمات فى حالة العاصفة الغبارية فإن حجم الجسيم لايزيد عن (٣- ١٠) ميكرون بينما فى حالة العاصفة الرملية فإن حجم الجسيم يزيد عن حجم الجسيم فى حالة العاصفة الغبارية، وفى حالة العاصفة الغبارية فإن رياح التيارات الرأسية يمكن أن تنشر الغبار على مساحات واسعة وترفعها الى ارتفاعات كبيرة قد تصل الى ٥٠٠٠ متر وتنخفض معها الرؤية الأفقية والرأسية الى أقل مدى لها. أما فى حالة العاصفة الرملية فإنها تكون أكثر محلية من العاصفة الغبارية فلا ترفع الرمال إلى أكثر من (٢٠ - ٣٠ متر) مع ان الرؤية الأفقية قد تكون منعدمة.



شكل (١)

أو الغبار وبالتالي إثارة الرمال والغبار ويكون ذلك ملحوظا وتقل معه الرؤية الأفقية.

٤- درجة الاضطراب على السطح (حالة عدم الاستقرار)

اضطراب الطبقة السطحية يزيد من سرعة الهواء القريب من سطح التربة ويزيد أيضا من الفرق في درجات الحرارة بين الطبقة الدنيا والطبقة الملامسة لسطح التربة. كذلك فإن الحركة الهابطة للهواء بسبب حالة عدم الاستقرار على السطح تؤدي إلى إثارة الرمال والغبار وتنخفض معها الرؤية الأفقية.

٥- معدل تغير درجة الحرارة في الطبقة الدنيا.

Lapse rate

كلما ارتفعنا عن سطح الأرض نجد أن درجة الحرارة تأخذ في النقصان ويكون بمعدل 10° س لكل واحد كم متر في حالة الاستقرار الطبيعي ويكون معدل التغير ($\delta\theta / \delta Z = 0$ neutral) وهذا حالة استقرار شرطى بحيث إذا زادت درجة الحرارة مع الارتفاع يكون هناك ما يسمى انقلابا حراريا في الطبقة القريبة من سطح الأرض عند

ترتيبها مفككه لضعف قوة التماسك بين حبيباتها فيسهل رفعها لأعلى بواسطة الرياح السطحية التي تجرفها لأعلى وتحملها الرياح القوية لمسافات طويلة وتقل معها الرؤية الأفقية لأقل من ١٠٠٠ متر وتحسن الرؤية الأفقية عندما تقل سرعة الرياح وتهبط الجسيمات لأسفل بفعل الجاذبية الأرضية. كما أن التربة يمكن أن تتماسك حبيباتها بسبب الهطول أو سقوط قطرات الندى مما يصعب معه رفع حبيبات الرمال أو الغبار لأعلى. شكل (١) مناطق الصحراء الكبرى في العالم ويلاحظ أن معظم الصحراء توجد بين دائرة عرض $(30^{\circ}$ شمالا و 30° جنوبا)

٢- مساحة سطح الصحراء التي تهب عليها الرياح الجارفة.

كلما زادت مساحة سطح الصحراء الجارفة التي تهب عليها الرياح الجارفة زادت كمية الغبار و الرمال في الطبقة السطحية التي تحركها الرياح السطحية لمسافات طويلة وتقل معها الرؤية الأفقية لأقل من ١٠٠٠ متر.

٣- مقدار سرعة الهواء الملامس لسطح التربة.

كلما زادت سرعة حركة الهواء الملامس لسطح التربة سوف تنتقل كمية الحركة لكتلة الهواء إلى سطح الرمال

• الغبار المغميم

Dust Haze

عندما يحمل الغبار الدقيق لأعلى في حالة العاصفة الغبارية وينتشر في الإتجاهات المختلفة في الغلاف الجوى ويجعل الرؤية مشوشة في كل الهواء المحيط بمركز العاصفة في الصحراء. ويظل الهواء ملوثا وتستمر الرؤية مشوشة لفترة طويلة وحيث أن الجسيمات صغيرة جدا لدرجة الاتساق بسبب الجاذبية في حالة أى سرعة مقاسة للهواء. ويظل التشويش لعدة أيام ويمكن أن يمتد لأعلى إلى ارتفاع ٣٠٠٠ متر وتقل الرؤية الأفقية إلى أقل من ١٠ كم واكبر من ١٠٠٠ متر.

• طبقات الغيوم

Haze layers

طبقات الغيوم تحدث في أى مستوى في التروبوسفير وتقل معها الرؤية الأفقية والراسية. والحدوث الأكثر شيوعا لطبقات الغيوم عندما يلوث الهواء القريب من سطح الأرض بالدخان والغبار ويصعد لأعلى بالتيارات الرأسية حتى يجد طبقة قليلة في معدل التغير أو انقلاب حرارى بحيث لا يستطيع أن ينفذ لأعلى ويظل الغبار معلقا في الطبقة القريبة من سطح الأرض مكونا طبقة غبار وتقل الرؤية الأفقية والراسية لأقل مستوى تبعا لكمية الغبار العالقة وذلك في الطبقة المستقرة. كما أن مناطق الضغط المرتفع التي تتميز بالهبوط للهواء يتكون عندها طبقات الغيوم في المستويات العليا.

ثانيا - الشروط المناسبة لحدوث العواصف الغبارية أو الرملية.

يلزم لحدوث العواصف الغبارية أو الرملية عدة عوامل منها مايلي:-

١- حالة التربة

حيث أن مصر ودول شمال افريقيا وشبه الجزيرة العربية اغلب المساحة فيها صحراء (خريطة شكل ١) ومن أكثر مناطق العالم جفافا وحبيبات

ب- النوع الشتوي

تنشأ بسبب انخفاض شديد في الضغط الجوي على السطح مصحوبا برياح جنوبية امام منخفض فوق المدارى متعمق عندما يمر ويتكون على شرق المتوسط أو شماله ويحدث هذا النوع غالبا في نهاية موشم الشتاء ويؤثر أساسا على الدلتا و بعض مناطق مصر الوسطى.

ج- المصاحبة للجبهة الباردة

تنشأ بسبب انخفاض شديد في الضغط الجوي مصحوبا برياح شمالية في الهواء البارد في مؤخرة الجبهات الباردة المصاحبة لمنخفض متعمق فوق المدارى، أو منخفض صحراوي ويترك شرق المتوسط ويتحرك تجاه الشرق أو شمال شرق، هذا النوع يحدث في كل من المواسم الحارة والباردة خاصة في نهاية الشتاء وموسم الربيع ويؤثر على

الغبارية على مصر تنقسم الى ثلاثة أنواع رئيسية كمايلي:-

ا - النوع الخماسينى (منخفض الصحراء)

المنخفضات الصحراوية هي منخفضات حرارية تنشأ من التسخين الشمسى على سطح الأرض وتولد خلف جبال أطلس بدول المغرب العربى وتتحرك موازية للساحل الشمالى الإفريقى ويكون امامها امتداد مرتفع العروض الوسطى ويصحب هذه المنخفضات انخفاض شديد فى الضغط الجوى على سطح الأرض مع رياح جنوبية إلى جنوبية شرقية قوية تهب أمام المنخفض عندما يتكون ويتطور قرب ساحل البحر المتوسط وهذا يحدث غالبا في موسم الربيع ويؤثر على اغلب الأنحاء.

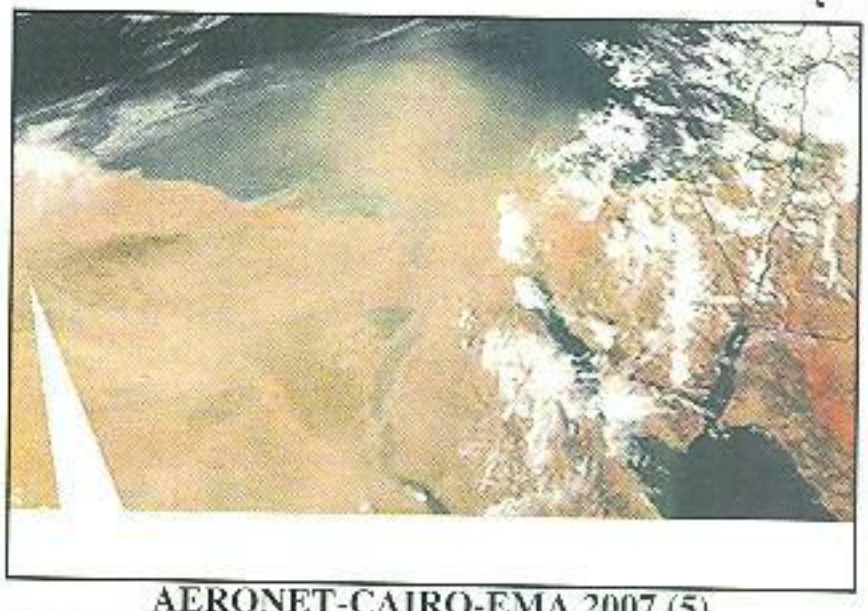
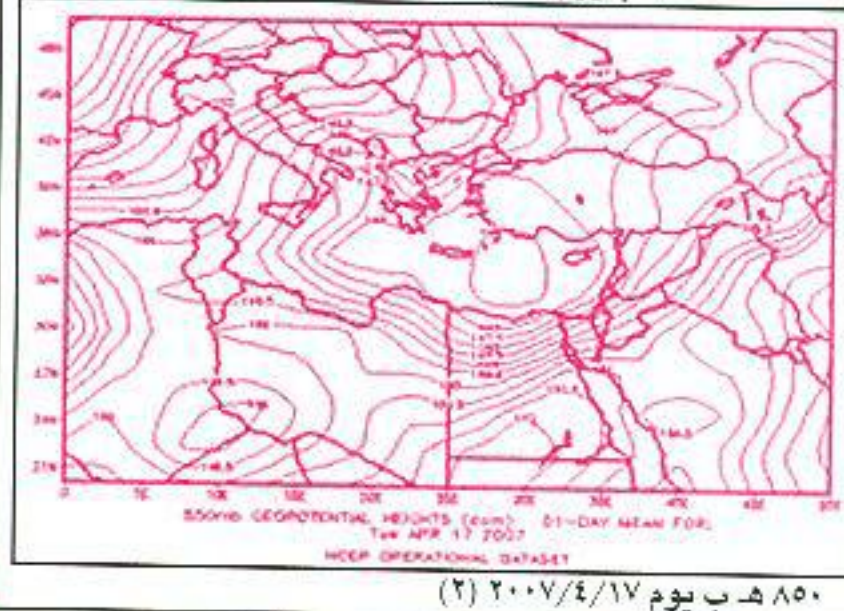
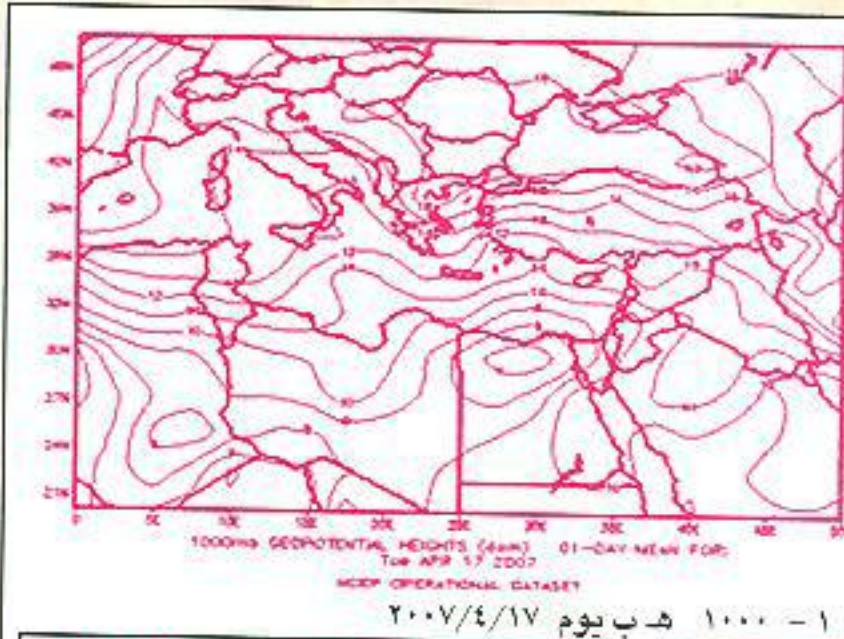
مستوى (٩٢٥ - ٨٥٠ هب) ويكون معدل التغير موجب $\delta \Theta / \delta Z > 0$ (Stable layer) اما إذا قلت درجة الحرارة مع الارتفاع عن (١٠°س) تصل إلى (٦°س) فى حالة التشبع لطبقة الغلاف الجوى ويكون معدل التغير لدرجة الحرارة فى الغلاف الجوى فى حالة عدم الاستقرار $\delta \Theta / \delta Z < 0$ (unstable layer) حيث $\delta \Theta / \delta Z < 0$ ، تقدر قيمته من خرائط (T، Φ) ، حيث أن Z تمثل ارتفاع المستوى عن سطح الأرض بالمتر، T درجة الحرارة الجافة °س، Φ خطوط تساوى الارتفاعات للمستويات الضغطية المختلفة.

ثالثا - تصنيف التوزيعات

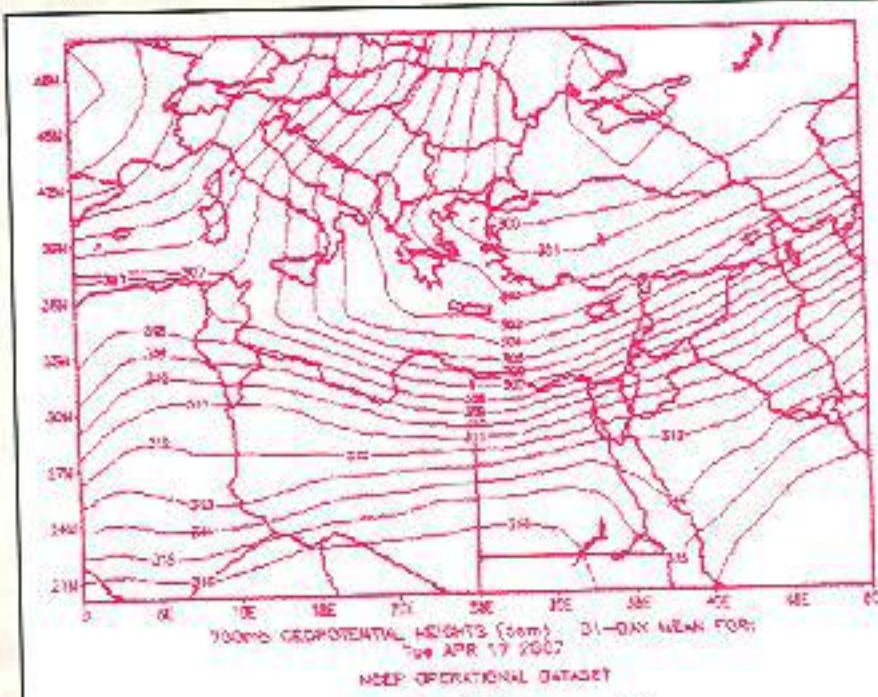
الضغطية للعواصف الغبارية

على مصر .

التوزيعات الضغطية للعواصف



شكل (٢)



(٣) ٧٠٠ هـ ب يوم ٢٠٠٧/٤/١٧



(٦) ٥٠٠ هـ ب يوم ٢٠٠٧/٤/١٧

تابع شكل ٢
جدول «١»

أقصى نفحة للرياح أثناء العاصفة على بعض المدن يوم ٢٠٠٧/٤/١٧ بالعقدة					
القاهرة	الغزة	العريش	المنيا	أسيوط	المدينة
٤٦	٣٤	٤٠	٤١	٤٦	أقصى نفحة

صحراوى متعمق على السطح حتى مستوى ٥٠٠ هـ ب كما توضح الخرائط (شكل ٢) الخرائط لحالة عاصفة غبارية أثرت على كافة الأنحاء في الجمهورية يوم ١٧ أبريل ٢٠٠٧ بسبب انخفاض صحراوى متعمق كما توضح صور الخرائط والأقمار الصناعية (الخرائط ١، ٢، ٣، ٦ المتوسط اليومي للتوزيعات الضغطية للمستويات (١٠٠٠، ٨٥٠، ٧٠٠، ٥٠٠) هـ ب يوم ٢٠٠٧/٤/١٧ صور الأقمار الصناعية ٥،٤ ٣،٢،١ ١٧٩-٠٧،٠٤ سعت AERONET_Cairo ١٠٣٠ EMA.200710

انخفض الضغط الجوى على بعض المدن ليصل إلى ١٠٠٠ هـ ب تقريبا والرطوبة النسبية إلى ٩٪ على القاهرة و ١٤٪ على المنيا ومكثت العاصفة ٦ ساعات على الإسماعيلية، ٤ ساعات دقيقة على المنصورة، ثلاث ساعات دقيقة على القاهرة والإتجاه السائد للرياح جنوبية غربية إلى جنوبية شرقية. شكل (٣) توضح مسارات المنخفض

الغبارية أو الرملية على كل دول شمال أفريقيا. حيث أن هذه الرياح لها تأثير كبير على مختلف أنشطة الإنسان الحيوية فهي معروفة منذ العصور الأولى بأسماء محلية خاصة بكل قطر من أقطار شمال أفريقيا.

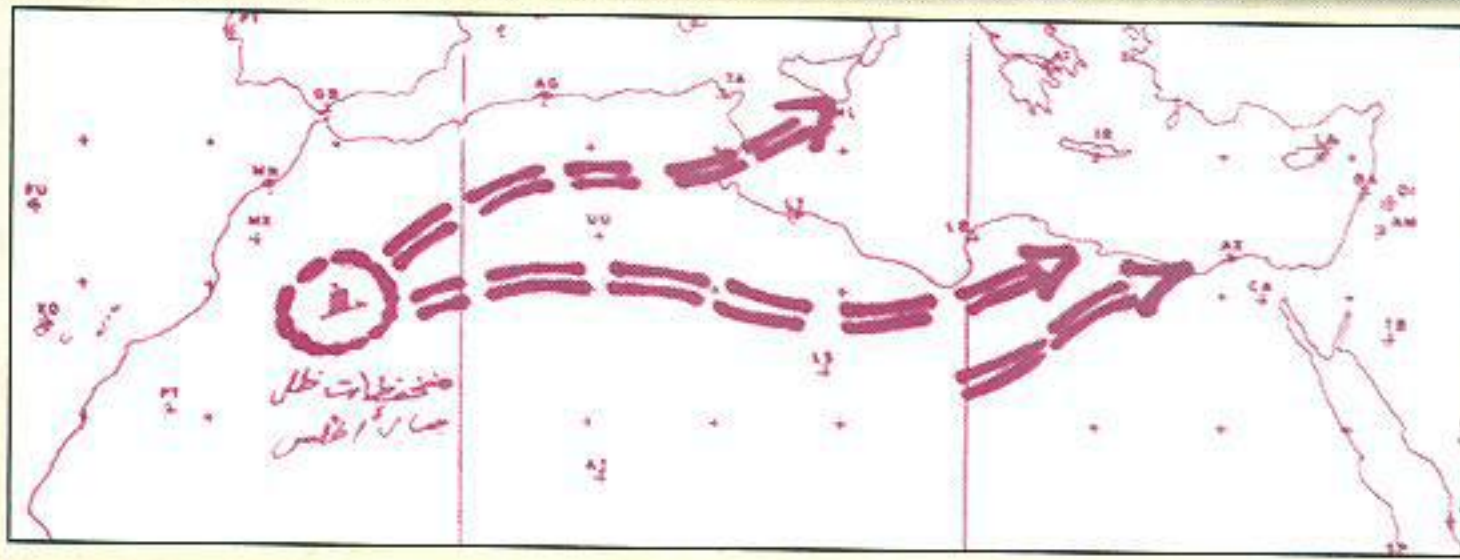
تعرف باسم (سورروكو) عندما تهب من المنطقة المدارية على ساحل المتوسط. وتعرف (بشيلي) في المغرب والجزائر وتونس. قبلى (جبلى) في ليبيا و(الخماسين) في مصر و(الهبوب) في السودان. والأمطار والعواصف الرعدية تحدث في مثل هذه المنخفضات لكن لا تستمر طويلا. كما ان المنخفضات الصحراوية تتطور سريعا عندما يغزو الهواء القطبي الجاف مؤخره المنخفض من شمال غرب أو شمال شرق أوروبا. وغالبا ما يأخذ المنخفض الصحراوى مسارا موازيا لمتوسط موقع التيار النفاث فوق المدارى. Tracks of mean position of subtropical Jet stream

مثال لعاصفة غبارية بسبب منخفض

كل مناطق الجمهورية خاصة مصر العليا. وفيما يلي سوف نعرض مثالا لكل نوع من العواصف الغبارية الثلاثة السابقة كل على حدة:-

١- الخماسينية (منخفض الصحراء)

تتميز الصحراء الكبرى الأفريقية بأن لها ميل كبير لتكوين منخفضات الصحراء في موسم الربيع حيث الطبيعة الجغرافية الصحراوية القاحلة وكذلك الظروف الجوية. وتتولد هذه المنخفضات خلف جبال أطلس بالمغرب العربى وتأخذ مسارا موازيا للساحل الأفريقي للبحر المتوسط. هذه المنخفضات تكون مصاحبة في معظم الحالات لنظام نشط من الرياح الجنوبية والجنوبية الشرقية القوية والحارة والجافة وتحمل غبار امامها. هذه الرياح تسبب ارتفاع حاد في درجات الحرارة وانخفاض حاد في الرطوبة النسبية مع إثارة الرمال والعواصف



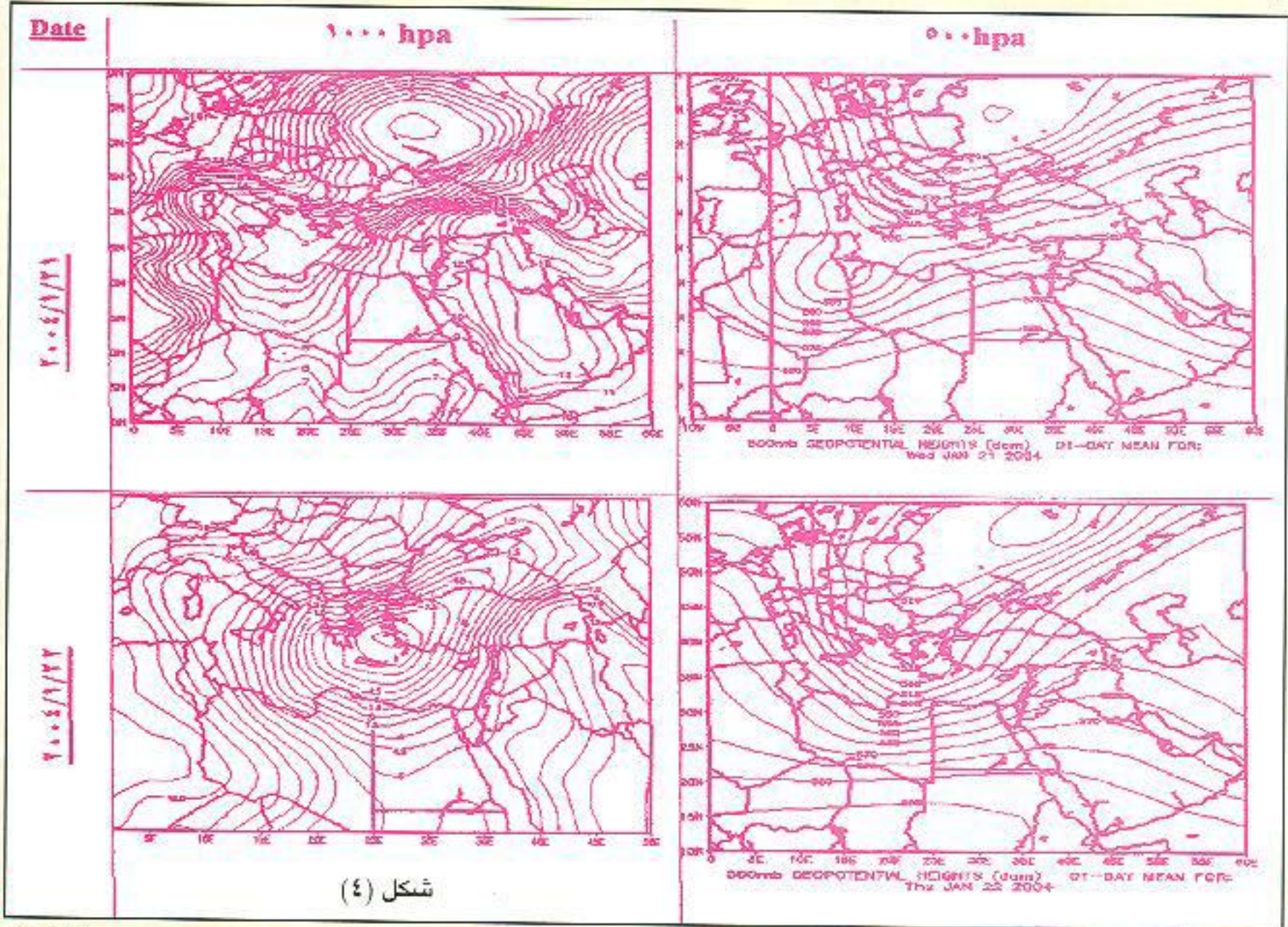
● شكل ٣ مسارات المنخفضات الصحراوية التي قد تسلكها من منطقة نشأتها خلف جبال أطلس وتسير موازية لساحل البحر المتوسط ●

نموذج الحالة الثانية:-

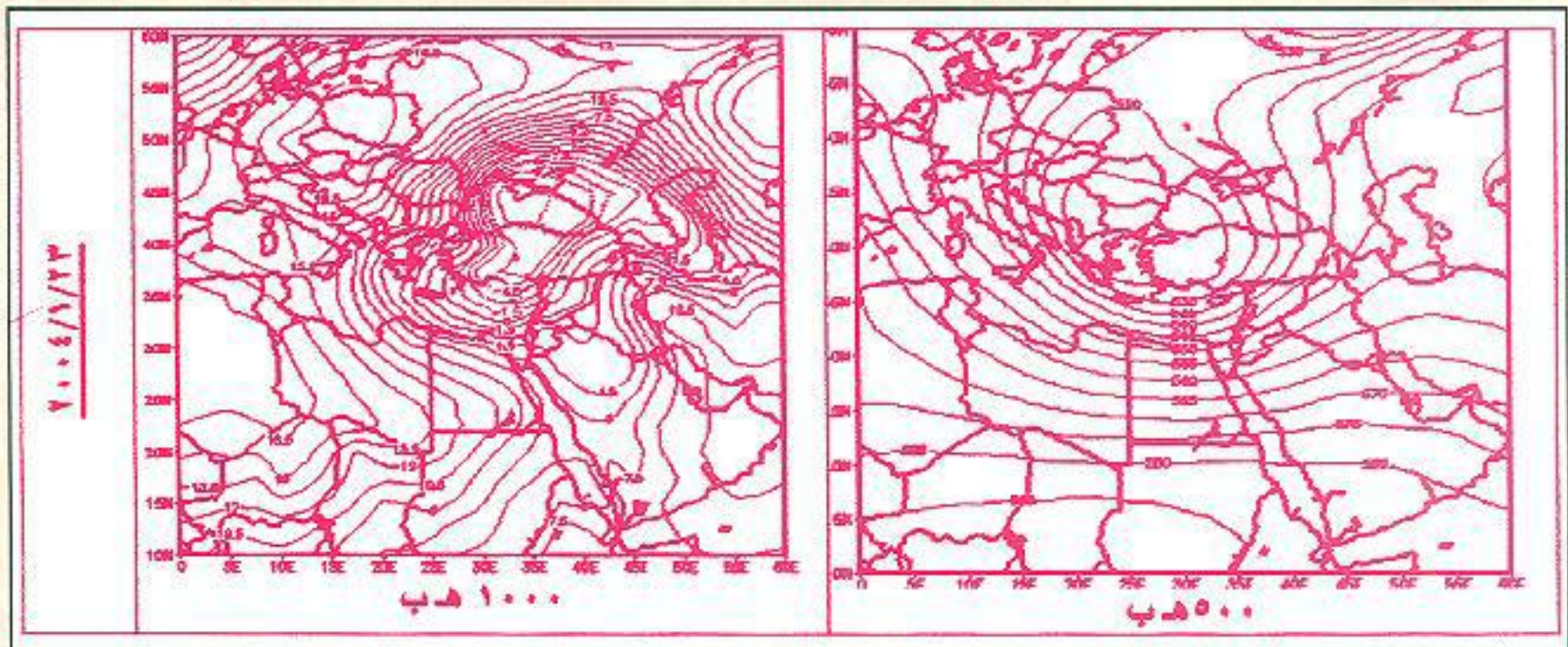
خرائط ١٠٠٠ هـ . ب ، ٥٠٠ هـ . ب توضح حالة عدم استقرار بسبب انخفاض متعمق من منخفضات حوض البحر المتوسط فوق مدارى على شرق المتوسط وتحرك من الاطلنطى تجاه الجنوب الشرقى مارا بجبال الالب وخليج جنوه.حتى

الشرق تبعا لحركة الهواء العلوى فى المستويات (٨٥٠ - ٧٠٠ - ٥٠٠) هـ . ب ويستغرق رحلة المنخفض (٤ - ٥ يوم) من منطقة المغرب العربى حتى يصل إلى منطقة الجمهورية ويتكرر حدوث المنخفضات الخماسينية غالبا أسبوعيا خاصة فى شهور فبراير ومارس فى موسم الربيع.

الصحراوى التي قد يسلكها والمسار المؤلف كثيرا بعد دراسة عدة حالات لسنوات مختلفة هو المسار الثانى حيث يتولد جنوب جبال أطلس ويتحرك موازيا لساحل البحر المتوسط مع متوسط موقع التيار النفاث الفوق مدارى. حتى يصل الى مصر دافعا أمامه رياح جنوبية نشطة محملة بالغبار والرمال ويتحرك نحو الشرق أو شمال



شكل (٤)



تابع شكل ٤

جدول ٢ بيانات يوم ٢٠٠٤/١/٢٢

الظاهرة الجوية	الرؤية الأفقية بالمتر	أقصى نفحة بالعمدة	درجة الحرارة °س		المدينة
			صغرى	عظمى	
عاصفة رملية +مطر	١٠٠	٢٨	٩	١٢	القاهرة
عاصفة رملية +مطر	٢٠٠	٢٨	٧	١٦	الإسكندرية
عاصفة رملية +مطر	١٠٠	٤٠	١٠	١٦	مطروح
عاصفة رملية +مطر	٣٠٠	٣٥	٨	١٨	بورسعيد
عاصفة رملية +مطر	٨٠٠	٢٨	٩	١٨	الإسماعيلية
عاصفة رملية +مطر	٣٠٠	٢٦	١٠	١٩	العرش
عاصفة رملية +مطر	٢٠٠	٢٤	٧	١٩	الأقصر
رمال مثارة	١٢٠٠	٢٧	١١	٢٦	أسوان
رمال مثارة	٢٠٠٠	٢٦	٨	١٩	أسيوط

جدول ٣ بيانات يوم ٢٠٠٤/١/٢٣

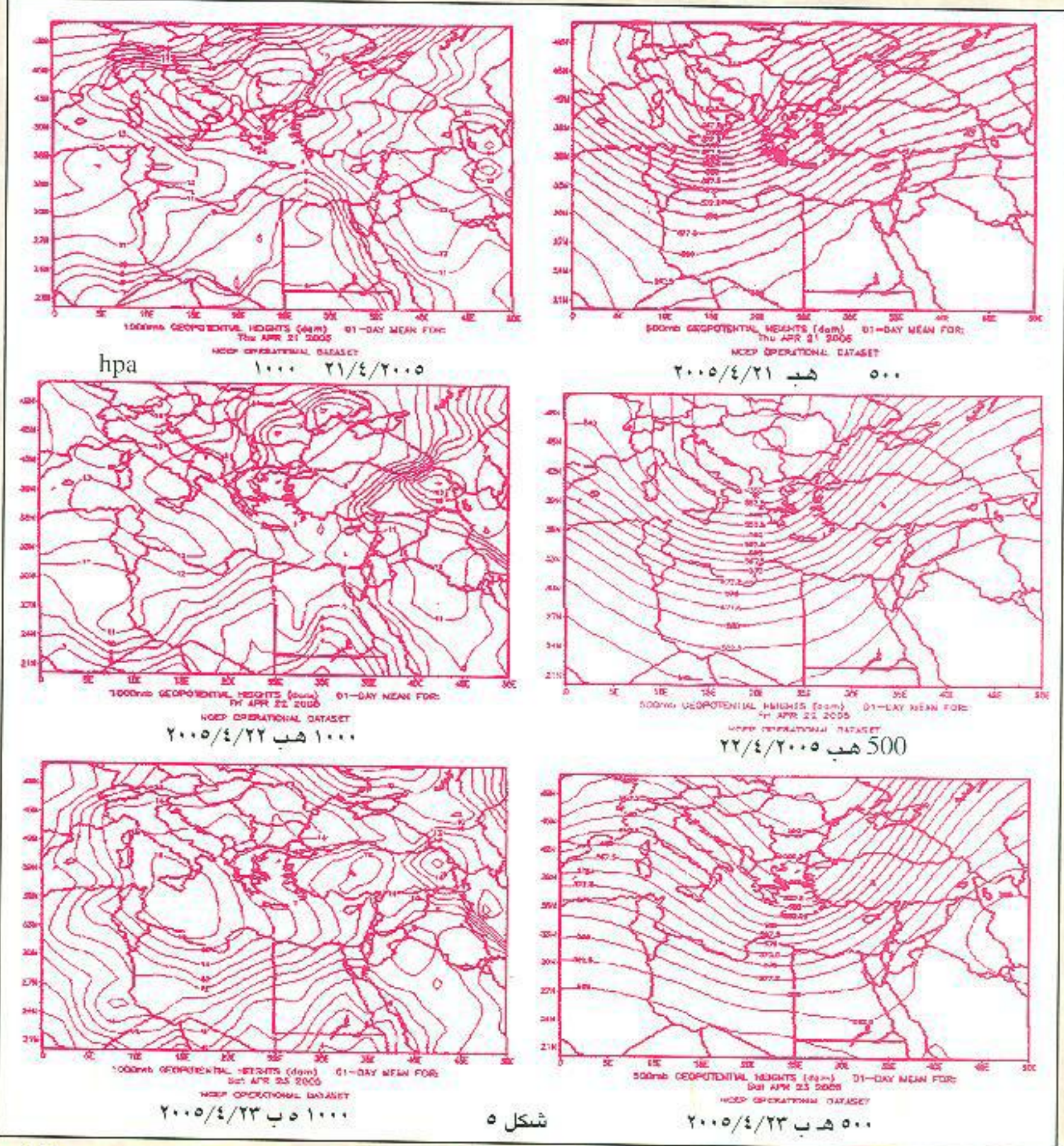
الظاهرة الجوية	أقصى نفحة بالعمدة	درجة الحرارة °س	درجة الحرارة °س		المدينة
			عظمى	صغرى	
عاصفة رملية	٢٦	٥٠٠	١٥	٧	القاهرة
عاصفة رملية ومطر	٢٦	٢٠٠٠	١٣	٦	الإسكندرية
عاصفة رملية ومطر	٣٠	٥٠٠	١٣	٨	مطروح
عاصفة رملية ومطر	٣٠	٦٠٠	١٥	٩	بورسعيد
عاصفة رملية ومطر	٢٨	٨٠٠	١٥	٦	الإسماعيلية
عاصفة رملية ومطر	٢٤	٣٠٠	١٦	٧	العرش
عاصفة رملية ومطر	١٤	٢٠٠	١٩	٩	الأقصر
عاصفة رملية ومطر	١٤	٩٠٠	٢٠	١١	أسوان
رمال مثارة	٢٢	١٥٠٠	١٦	٧	أسيوط

نموذج الحالة الثالثة

توضح الخرائط (شكل ٥) مستويات ١٠٠٠ هـ ب ٥٠٠ هـ ب لأيام ٢١، ٢٢، ٢٣ ابريل ٢٠٠٥ وصور الأقمار الصناعية المصاحبة توضح أن المنخفض الموسمي (منخفض السودان الموسمي تعمق على السودان وامتد شمالا موازيا لساحل

من ٥٠٠ متر في حالة العاصفة ،اعقبها أمطار غزيرة على أقطار شرق المتوسط وشمال الجزيرة العربية خلال الفترة من ٢١ - ٢٣ يناير ٢٠٠٤ الخرائط من From cdc.gov/composite.NOAA 2004 (شكل ٤)

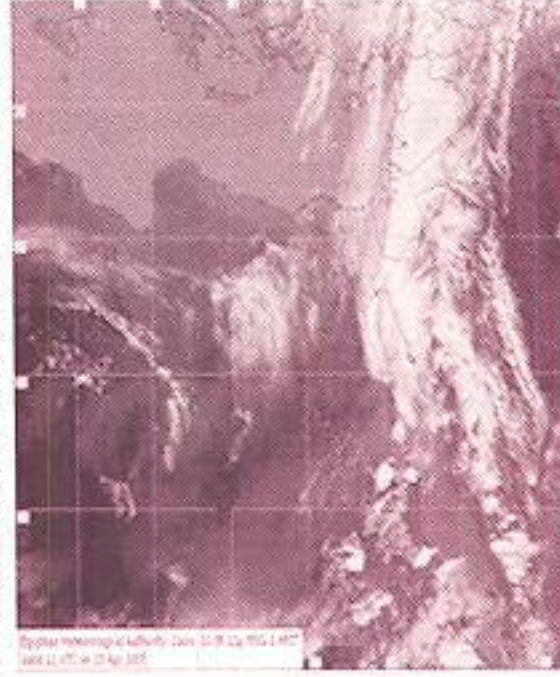
وصل إلى شرق المتوسط واثّر على أغلب أنحاء الجمهورية مصحوبا بعواصف غبارية بسبب الرياح الجنوبية والجنوبية الغربية الشديدة التي تهب امام المنخفض من الصحراء الغربية والمحملة بالرمال، انخفضت معها الرؤية الأفقية لأقل



شكل ٥



٢٢ ابريل ٢٠٠٥ سعت ١٢٠٠ تع

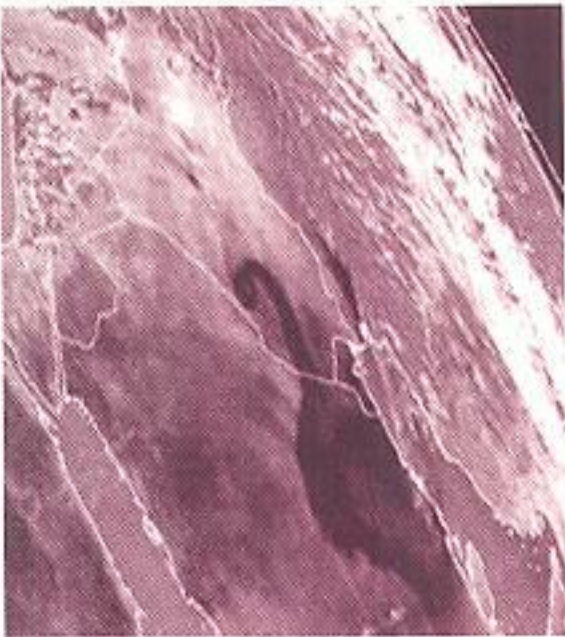


٢٣ ابريل سعت ٢٠٠٠ تع



٢٢ ابريل سعت ١٩٠٠ تع

صور الأقمار الصناعية المصاحبة توضح سحب ركامية منخفضة ومتوسطة وأخرى عالية مع التيار النفاث فوق مدارى
سحبت من المنطقة المدارية Meteosat 8



عواصف غبارية على العراق (٣ مايو ٢٠٠٥
٠٩٠٠ تع)



عواصف غبارية على مصر وشرق المتوسط
خلال ٢١-٢٣ يناير ٢٠٠٤ بسبب منخفض
جبهى متعمق

البحر الأحمر حتى وصل لشرق البحر
المتوسط واتحد مع منخفض آخر من
منخفضات البحر المتوسط وهو منخفض
متعمق فى طبقات الجو العليا وقد
ساعدت المركبة الجنوبية الغربية القوية
للتيار النفاث فوق مدارى Subtropi-
cal Jet stream على جلب كتل من
السحب الرعدية من المنطقة المدارية أدت
الى حدوث الأمطار الرعدية وكانت غزيرة
على بعض المناطق بعد حدوث عواصف
ترايبية خلال الفترة (٢١ - ٢٣/٤/٢٠٠٥)
بسبب تيارات الحمل الرأسية - Convec-
tive systems (شكل ٥)

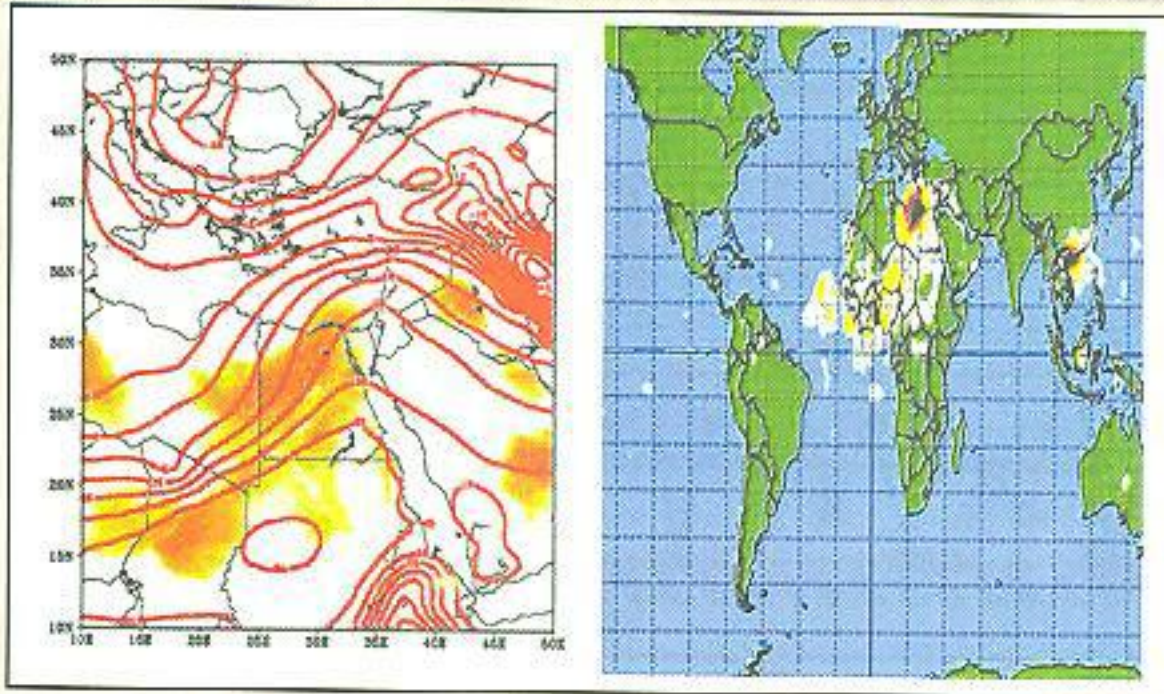
وقد أشار الدكتور / حسين زهدى
رئيس مجلس إدارة الهيئة الأسبق فى
بحث نشر سنة ١٩٨٥ يوضح مثل هذه
الحالات من عدم الاستقرار بأنه تداخل
بين منخفضات المنطقة المدارية
ومنخفضات حوض المتوسط بواسطة
التيارات النفاثة (القطبي والمدارى) يؤدي
الى عدم استقرار عنيف بسبب اندماج
كتلة الهواء القطبي مع كتلة الهواء
المدارى مكونة سحب رعدية ممطرة.

رابعاً - أدوات الرصد والتنبؤ بالعواصف

تعد النماذج العددية للتنبؤ بالظواهر
الجوية ومنها العواصف الغبارية وكذلك
صور الأقمار الصناعية خاصة الجيل

٢٥ يونية ٢٠٠٣، ٢٣ يناير ٢٠٠٤ ومن
أهم النماذج العددية النموذج الأوروبي
ECWMF وكذلك النموذج المصرى
والذى تم تطويره بمركز القاهرة
للتنبؤات العددية بإضافة معادلة
الانتشار (الافقى والرأسى) والانبعاث
(كداله فى نوع التربة وتركيبتها ورطوبة
التربة والغطاء النباتى واخيرا الترسيب
الجاف والرطب. وقد تم التحقق من كفاءة
النموذج بمقارنة تركيز الغبار ومعامل
الايروسولات (data toms) والتي أدت
الى نتائج طيبة

الثانى من الأقمار الصناعية من أفضل
سبل الرصد والتنبؤ بالعواصف حيث
يمكن بواسطة خرائط الطقس الواقعية
والمستقبلية خاصة المستويات (السطحي
& ٨٥٠ هب) لعنصرى الرياح ودرجات
الحرارة متابعة مراكز المنخفضات
وحركتها وتطورها منذ نشأتها حتى
تصل إلى منطقة جمهورية مصر العربية
وبعد حركتها نحو الشرق أو شمال شرق
لتؤثر على مدن الشام وشمال الجزيرة
العربية كما توضح صور الأقمار
الصناعية للجيل الثانى شكل (٦) يومى



(شكل ٦)

Dust Load (g/m^2) shaded and temperature 850 mb (contour)
Earth probe TOMS Aerosol index

نموذج لخرائط النموذج المصري الذي يتنبأ بالعواصف الترابية بعد التحقق من كفاءة النموذج بمقارنة تركيز الغبار ومعامل الايروسولات (data toms) حالة عاصفه ترابيه ١٤-٣-١٩٩٨

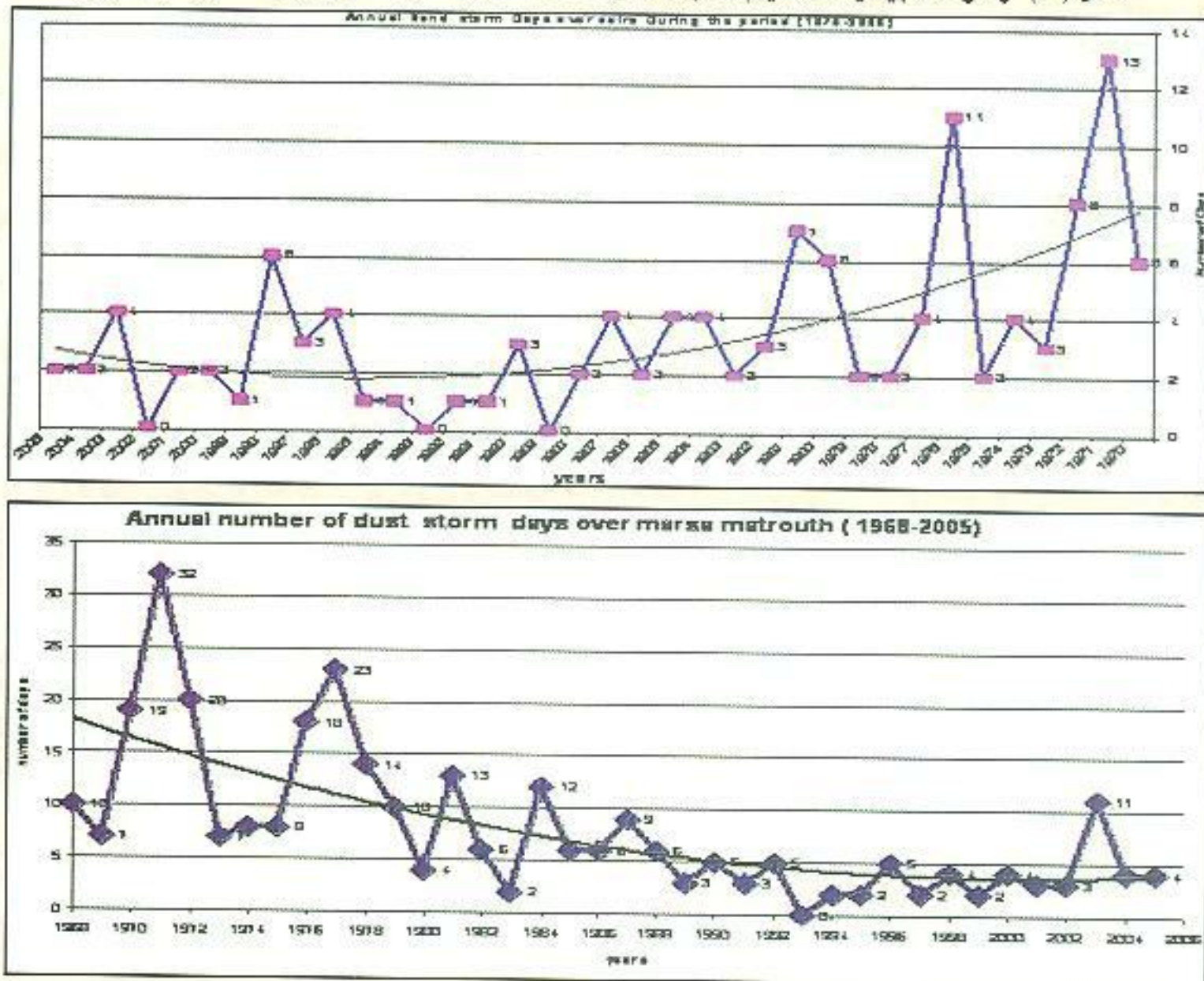
نماذج للعواصف الترابية التي ترصدها الأقمار الصناعية

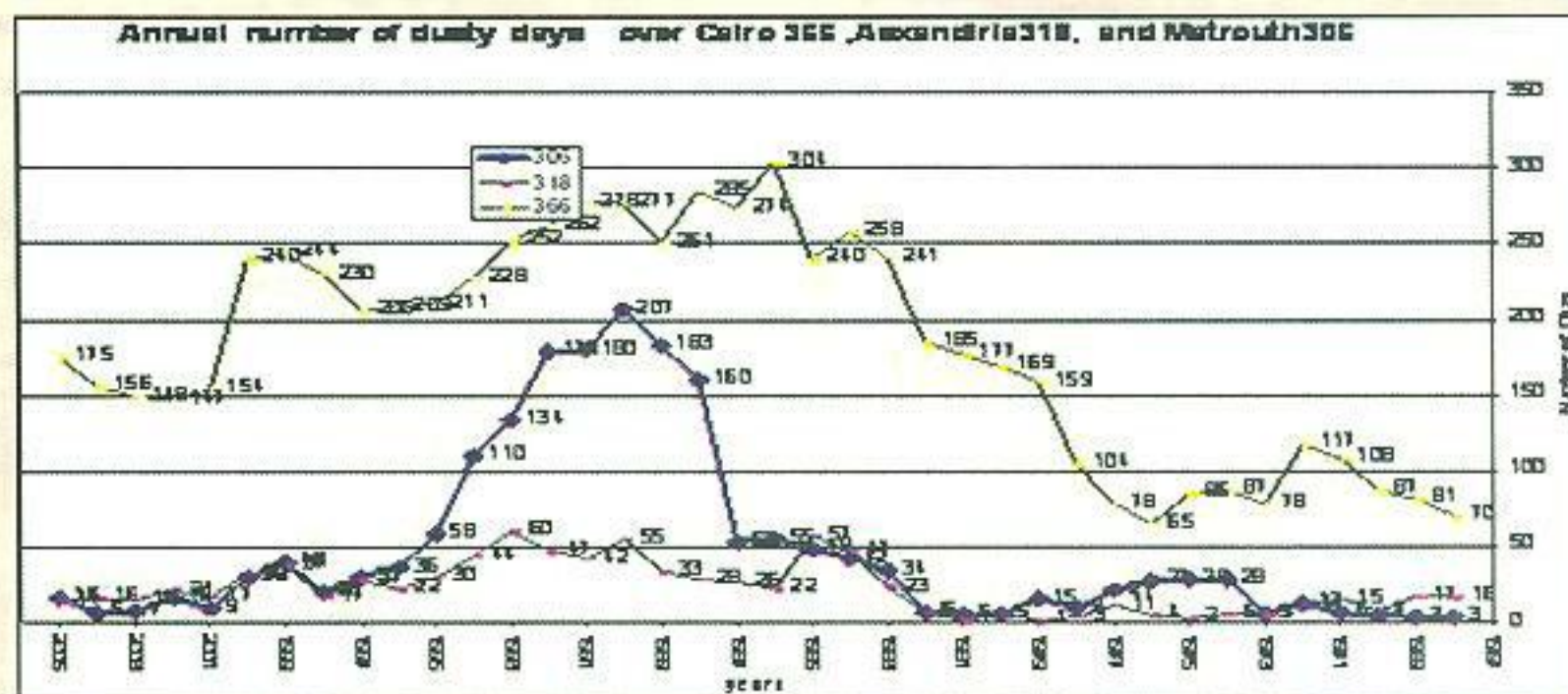
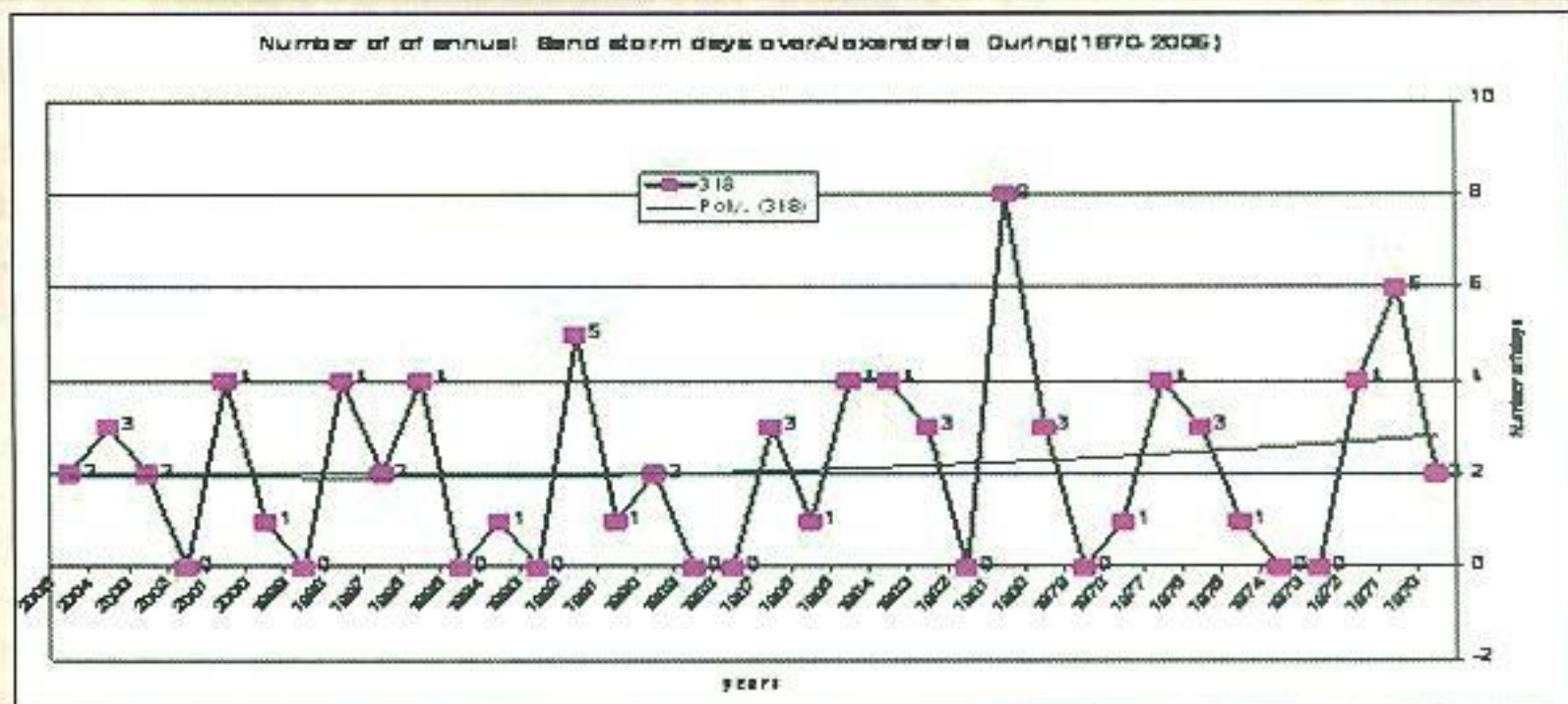
شكل (٦) حالة عاصفة ترابية ١٤ - ٣ - ١٩٩٨ أيضا تم من خلال النموذج معرفة العوامل الجوية المؤثرة كسرعة الرياح خاصة الرئيسية والتي لها اهمية خاصة في تفكيك حبيبات التربة (downward motion) ورفع الغبار الى اعلى (upward), وأيضا السرعة الاحتكاكية. بالإضافة للاوضاع السينوبتيكية والتي تعمل على اثاره الغبار. ومن وسائل التنبؤ بالعواصف الغبارية التي نسبة نتائجها عالية بالمقارنة بالملاحظ الشبكات العصبية الاصطناعية واستخدمت هذه الوسيلة للتنبؤ بالعواصف

الغبارية وأظهرت نتائج جيدة

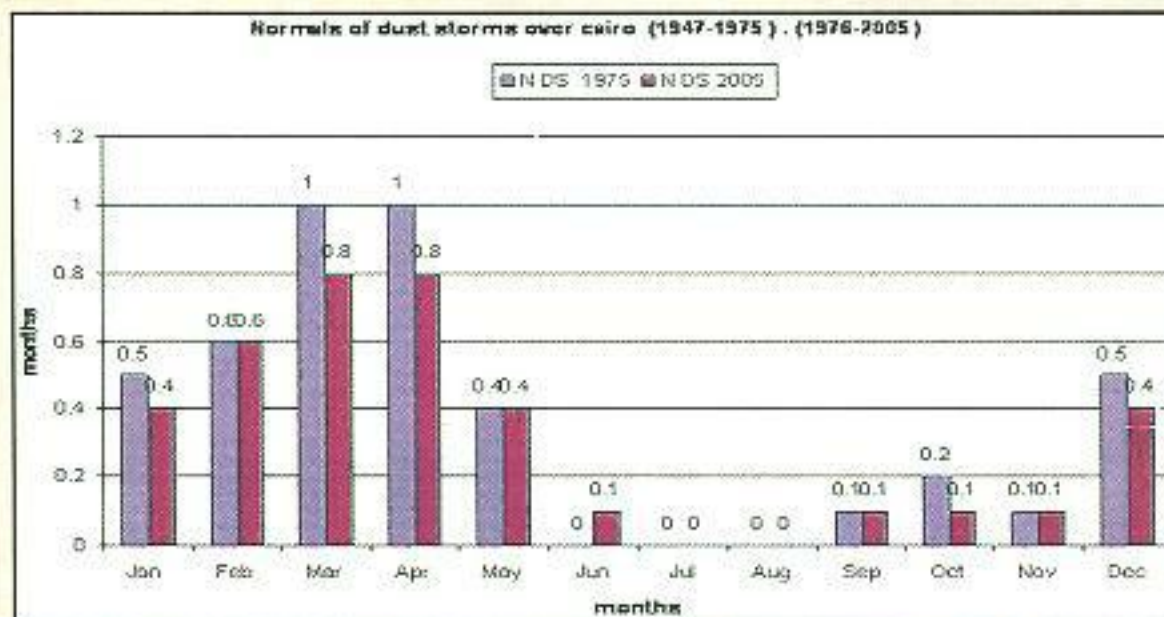
Application of Artificial Neural Networks ANN to the prediction of dust storms in North West China (Mei Hang, Gongbing peng) Accepted 9 February 2006

شكل (٧) رسومات بيانية عدد أيام حدوث العواصف الغبارية على القاهرة والاسكندرية ومطروح



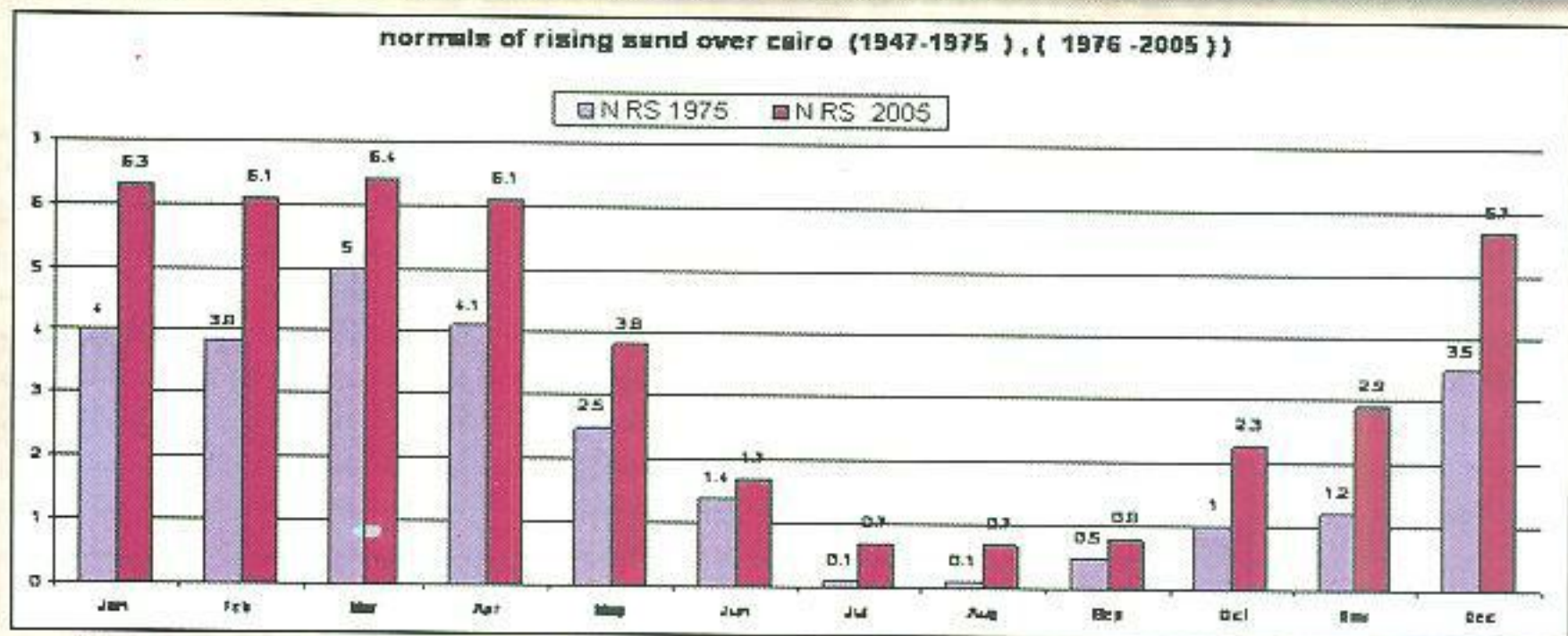


(شكل ٨) عدد ايام حدوث العجاج وهو ظاهرة من ظواهر الاستقرار في الأحوال الجوية على عكس حدوث العاصفة الغبارية على مدن القاهرة والاسكندرية ومرسى مطروح خلال الفترة من (١٩٦٨-٢٠٠٥) ويتضح أن أكثر حدوث للعجاج في القاهرة ويليهما مطروح والاسكندرية، وتعد سنة ١٩٨٦ أكثر تكرار لحدوث العجاج في القاهرة (٣٠٤ يوم) واقلها سنة ١٩٧٦ (٦٥ يوم) وسنة ١٩٩٠ أكثر تكرار في مدينة مطروح (٢٠٧ يوم) واقلها تكرار سنة ٢٠٠٤ (٦ يوم) ومدينة الاسكندرية أكثر تكرار سنة ١٩٩٣ (٦٠ يوم) وسنة ١٩٦٨ اقل حدوث العجاج (٣ يوم).



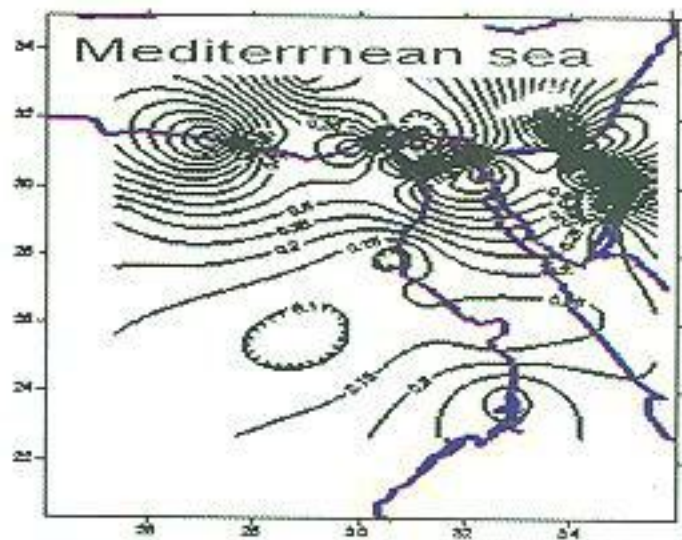
(شكل ٩) معدلات العواصف الترابية القاهرة أعلى في شهور يناير ومارس وأبريل وديسمبر واقل في يونيو من معدلات (١٩٧٦-٢٠٠٥)





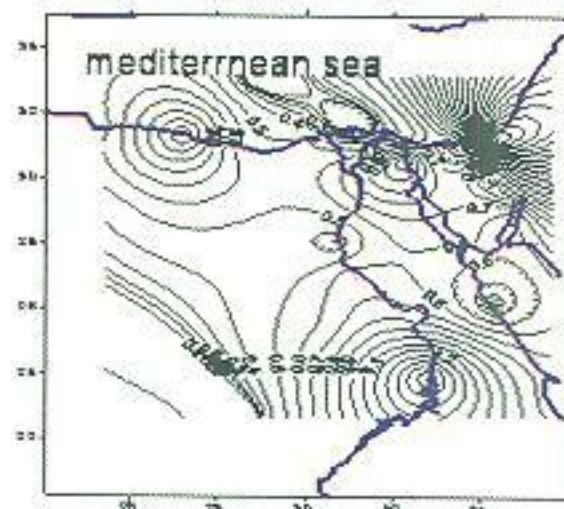
(شكل ١٠) معدلات الرمال المثارة (١٩٧٦- ٢٠٠٥) على القاهرة اعلى من معدلات (١٩٤٧- ١٩٧٥) في جميع شهور السنة

Egypt climate normals (1975-2005)



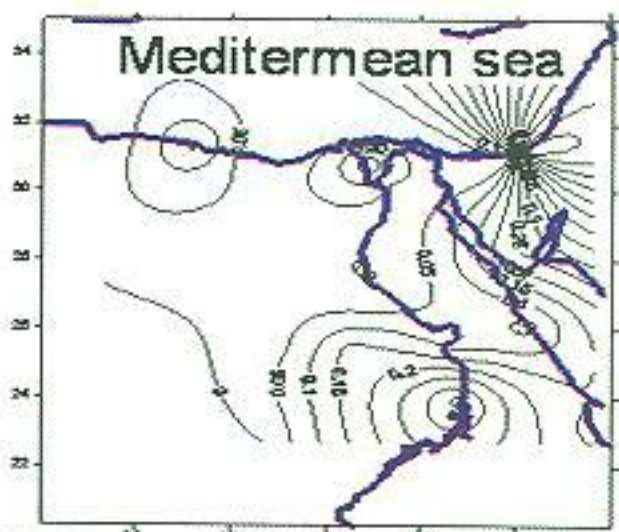
dust storms Frequency in winter (DJF)

Egypt climate normals (1975-2005)



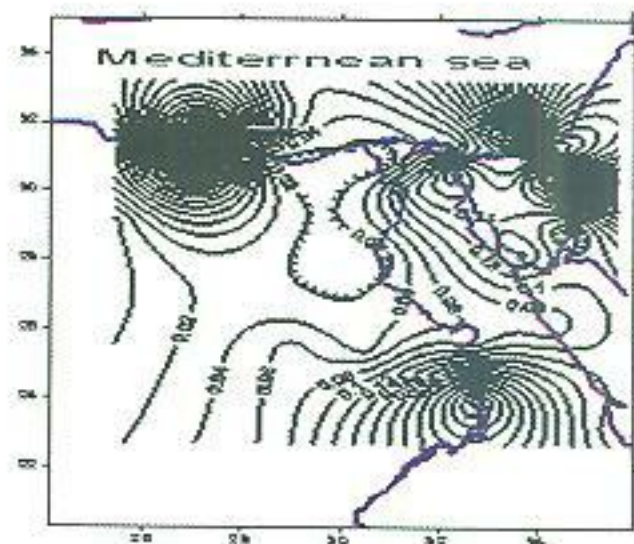
Dust storms frequency over Egypt in spring (MAM)

Egypt climate Normals (1975-2005)



Dust storms frequency Normals in summer (JJO)

Egypt climate normals (1975-2005)



Dust storms frequency in autumn (SON)

(شكل ١١) معدلات العواصف الغباريه على مصر في فصول السنة المختلفة



ظاهرة العواصف الترابية او الرملية من الظواهر الهامة جدا التي يجب التنبؤ بها لخطورة تأثيرها على مختلف نواحي الحياة وتؤثر على شمال أفريقيا عموما حيث الطبيعة الجغرافية الصحراوية الجافة جدا وحببيبات تربتها مفككة وتكون مناسبة لحدوث العاصفة الغبارية إذا توفرت الشروط التي سبق ذكرها وهي رياح قوية نشطة وقد تم تصنيفها الى عواصف غبارية تنشأ من منخفضات جوية صحراوية تتكون خلف جبال اطلس وتتحرك موازية للساحل الاريقي للبحر المتوسط وتتحرك المنخفضات مع متوسط اتجاه التيار النفاث الفوق المداري. وتكون أكثر تكرار في موسم الربيع (مارس، ابريل، مايو) -

وعواصف مصاحبة لمنخفض متعمق من منخفضات حوض البحر المتوسط في فصل الشتاء تتكون بسبب الرياح الجنوبية او الجنوبية الغربية النشطة التي تدفع امامها كمية كبيرة من الرمال من الصحراء مسببة العاصفة

وتنخفض معها الرؤية الأفقية لأقل من ١٠٠٠ متر ويحدث هذا في نهاية موسم الشتاء يناير وفبراير. والعواصف التي تنشأ من منخفض جبهي في نهاية الجبهة بسبب الرياح الشمالية او الشمالية الغربية النشطة التي تجرف الغبار او الرمال من الصحراء ثم تحملها الى مسافات بعيدة ثم تهبط بسبب جاذبية الغلاف الجوي. وقد تطورت طرق الرصد والتنبؤ بالعواصف الغبارية فكانت النماذج العددية لها دور كبير في التنبؤ بالعواصف من خلال خرائط الطقس السطحية والعلوية الواقعية والمستقبلية لمختلف العناصر (الحرارة - الرياح - الضغط - الرطوبة النسبية وغيره من عناصر الطقس ..) وكذلك الاقمار الصناعية الجيل الثاني والاول يرصد بدقة العواصف وحركتها وتطورها المصاحب لخرائط الطقس. أيضا هناك وسيلة أخرى للتنبؤ بالعواصف الغبارية استخدمت في الصين وأمريكا هي الشبكات العصبية الذكية - Artificial Neu-

ral networks for prediction
dust storms ANN

المعلومات لها لتستشعر حدوث العواصف وكانت نتائج البحوث جيدة في التنبؤ بالعواصف الغبارية. كما يجب الإشارة إلى رفع كفاءة النموذج العددي المصري بالتنبؤ بالعواصف بإضافة المدخلات التي تساعد على رفع كفاءة التنبؤ. وبدراسة معدل تكرار الظاهرة على مصر من خلال البيانات المناخية المتاحة تبين لدينا ان موسم الربيع يتميز بأنه أكثر المواسم تكرارا لحدوث الظاهرة الترابية بسبب تكرار حدوث المنخفضات الصحراوية التي تولد جنوب جبال اطلس وتؤثر بطقس خماسيني سيء.

كذلك في موسم الشتاء يحدث حالات عدم استقرار شديدة بسبب منخفضات متعمقة على شرق المتوسط وتؤثر بالرياح الجنوبية او الجنوبية الغربية النشطة التي تجلب معها كميات كبيرة من الرمال من الصحراء الغربية وتسبب العاصفة.

References

1. El Fendi, M.G. (1940) The formations of depression of the type Qj -roy, MET, No. 286, Vol. 26, PP 323-336.
2. El Tantawi, A.L. (1964) The role of jet stream in the development of desert depression, WMO, tech. Note No. 64.
3. Fredric Sanders, Johnr, Gyakum (1980) synoptic-dynamic climatology of the Bom.
4. On the inter action between external disturbance over Afican from sat, picture, Met. res bul Cairo, Zohdy (1971), (1985) Vol. 3, No. 1 PP 87-100.
5. Physics and modeling of wind erosion (yaping shao) school of mathematics the university of new south Wales (63-67).
6. Wind Erosion In The Middle East. And Africa (yaping shao) school of mathematics the university of new south Wales (32-35).
7. Atmospheric System which Generate Dust Storms (yaping shao) school of mathematics the university of new south Wales (18-30).
8. Global Wind Erosion Patterns (Yaping Shao) school of mathematics the university of new south Wales (24-30).